

## Facharbeit 2024

zum Thema:

Dezentralisierte asymmetrische Verschlüsselung  
über Tor – Die Lösung für sicheres Messaging?

Seminarfach: Informatik – SF25\_2

Verfasser/in: Hendrik Lind

Fachlehrer/in: Marco Geertsema

Abgabetermin: 22.02.2024

# Inhaltsverzeichnis

<b>1</b>	<b>Einleitung</b>	<b>1</b>
1.1	Motivation . . . . .	2
1.2	Relevanz . . . . .	2
1.3	Methodisches Vorgehen . . . . .	3
<b>2</b>	<b>Asymmetrische Verschlüsselung</b>	<b>3</b>
2.1	Grundlagen . . . . .	3
2.2	Mathematische Betrachtung . . . . .	3
2.2.1	Eulersche Phi-Funktion . . . . .	4
2.2.2	Generierung des Schlüsselpaares . . . . .	4
2.3	Sicherheit . . . . .	5
2.4	Vergleich zur symmetrischen Verschlüsselung . . . . .	6
<b>3</b>	<b>Das Tor-Netzwerk</b>	<b>6</b>
3.1	Onion Services . . . . .	8
3.1.1	Verbindungsaufbau . . . . .	8
3.2	Sicherheit . . . . .	9
<b>4</b>	<b>Dezentralisierung</b>	<b>10</b>
4.1	Sicherheit . . . . .	10
<b>5</b>	<b>Umsetzung des Messengers</b>	<b>11</b>
5.1	Peer-to-Peer-Verbindung . . . . .	12
5.2	Tor-Netzwerk . . . . .	15
5.3	Sicherheit . . . . .	16
5.4	Ende-zu-Ende-Verschlüsselung . . . . .	18
5.4.1	Verifizierung der Identität . . . . .	18
5.5	Nachrichten versenden . . . . .	21
<b>6</b>	<b>Nachteile und Lösungsmöglichkeiten</b>	<b>23</b>
<b>7</b>	<b>Fazit</b>	<b>24</b>

# 1 Einleitung

Russland, China, Iran. In diesen totalitären Staaten herrscht eine starke Zensur [vgl. Am23]. Allein in diesen 3 Ländern sind rund 1,7 Milliarden Menschen von der Einschränkung der Meinungsfreiheit betroffen. Wie können Bürger aus solchen Staaten  
5 ihre Meinung verbreiten und andere Menschen, staatliche oder nicht staatliche Organisationen auf staatskritische Situationen und Probleme aufmerksam machen, ohne sich selbst in Gefahr zu bringen?

Bei herkömmlichen Messengern wie WhatsApp, Signal und Co. wird zur bi- oder multilateralen Kommunikation die Telefonnummern benötigt, um untereinander in  
10 Kontakt treten zu können. Eine mögliche Gefahr besteht darin, dass sich ein totalitärer Staat als legitimer Empfänger ausgibt, wodurch Bürger und z.B. staatskritische Journalisten ihre privaten Telefonnummern an den Staat weitergeben, der dann wiederum in der Lage ist, diese Nummern zurückzuverfolgen [vgl. Fä23]. Genau hier liegt das Problem: oppositionelle Bürger und Reporter können nicht über gewöhn-  
15 liche Messenger mit der Außenwelt kommunizieren, da der Staat ihre Nummern zurückverfolgen kann, und sie mit einer weiteren Einschränkung ihrer Meinungsfreiheit oder sogar mit ihrer Verhaftung rechnen müssen [vgl. Am23].

Die zentrale Infrastruktur, der meisten Messengern wie WhatsApp und Signal, ermöglicht es außerdem totalitären Staaten wie China, die IP-Adressen von Servern  
20 zu blockieren und sie so für Bürger und Journalisten unzugänglich zu machen [vgl. Wu+23; Bh23]. Vor diesem Hintergrund könnte ein dezentraler, Ende-zu-Ende-verschlüsselter Messenger, der über das Tor-Netzwerk kommuniziert, eine Lösung für diese Probleme darstellen. Ziel dieser Arbeit ist es, diese Lösung auf ihre Sicherheit und Praktikabilität hin zu untersuchen und zu implementieren.

Um ein Verständnis für die Sicherheit dieses Messengers zu erlangen, geht diese  
25 Arbeit im zweiten Kapitel auf die asymmetrische Verschlüsselung und die Ende-zu-Ende-Verschlüsselung (E2EE) ein. Hierzu werden die mathematischen Zusammenhänge näher betrachtet, um im Anschluss die Sicherheit des Verfahrens beurteilen zu können. Dabei wird auf die Erklärung des Padding-Verfahrens der asymmetrischen Verschlüsselung verzichtet, da eine Erläuterung den Rahmen dieser Facharbeit  
30 überschreiten würde. Im dritten Kapitel wird untersucht, ob das Tor-Netzwerk eine mögliche Lösung für das Problem der Anonymität im Internet darstellt und inwieweit

es die Nutzer schützt. Aufbauend auf das vierte Kapitel, in dem mit der Definition und der Sicherheit von Dezentralisierung die Grundlagen gelegt werden, wird im darauffolgenden fünften Kapitel die Implementierung des Messengers beschrieben, woraufhin sechsten Kapitel auf die Nachteile des Messengers und deren Lösungsmöglichkeiten eingegangen wird. Die Arbeit endet mit dem siebten Kapitel, in welchem ein kurzes Fazit der erarbeiteten Ergebnisse gezogen wird.

## 1.1 Motivation

Mein Interesse an Themenkomplex erstreckt sich über mehrere Ebenen. Neben der asymmetrischen Verschlüsselung und der dahinterliegenden Mathematik, ist die Programmierung selbst und die Implementierung eines sicheren Messengers im Tor-Netzwerk eine meiner Hauptmotivationen mich mit diesem umfangreichen Thema zu beschäftigen.

Ich verfolge das Tor-Netzwerk und seine Struktur schon seit ein paar Jahren mit großem Interesse. Das Tor-Netzwerk wird oft mit dem Begriff des Darknets in Verbindung gebracht, was bei den meisten Menschen zu negative Assoziationen führt [vgl. Bu24]. Die schwierige Rückverfolgung spielt eine große Rolle in der Anonymität des Tor-Netzwerkes und ist ein weiterer Aspekt, der mich an diesem Thema fasziniert [vgl. ebd.]. Zusätzlich steht der mathematische Erklärungsansatz der asymmetrischen Verschlüsselung für mich mitunter im Vordergrund meines Interesses: „Wie schafft es der Angreifer, eine verschlüsselte Nachricht nur mit dem öffentlichen Schlüssel nicht zu entschlüsseln?“. Die vielen Facetten des Tor-Netzwerks mit der Ende-zu-Ende-Verschlüsselung und der Dezentralisierung zu verbinden, sodass am Ende ein funktionierender Messenger entsteht, ist eine weitere Herausforderung, für die ich mich begeistern kann.

## 1.2 Relevanz

Durch die steigende Anzahl von Cyberangriffen geraten Messenger immer mehr in den Fokus von Angreifern, da durch die Kompromittierung eines Messagingdienstes viele persönliche Daten erlangt werden können [vgl. Bu23b]. China betreibt eine ausgefeilte Analyse und Überwachung des Netzes, wodurch die eine Anonymität und Sicherheit von Messengern umso wichtiger ist [vgl. Ho16]. Mit solch einem Messenger könnten oppositionelle Meinungen und Ansichten das autoritär geführte

Land verlassen und in der Außenwelt Gehör finden. Und auch hier stellt sich wieder die Frage: „Schützt ein solcher Messenger Bürger und Journalisten in einem totalitären Staat vor möglichen Konsequenzen?“.

### 1.3 Methodisches Vorgehen

Zunächst werde ich die Grundlagen der asymmetrischen Verschlüsselung, des Tor-Netzwerks und der Dezentralisierung erläutern, um dann jeweils die Sicherheit des Verfahrens zu überprüfen. Den theoretischen Hintergrund werde ich anschließend anwenden und somit einen Messenger programmieren, auf dessen Nachteile und mögliche Lösungsmöglichkeiten hinweisen, und abschließend ein Fazit ziehen.

## 2 Asymmetrische Verschlüsselung

Um einen sicheren Nachrichtenaustausch zu gewährleisten, wird in dieser Arbeit E2EE implementiert. Bei E2EE wird die Nachricht vom Sender verschlüsselt, bevor sie an den Empfänger gesendet wird [vgl. Gr14]. Zwischengeschaltete Akteure wie Server oder mögliche Angreifer können die Nachricht somit nicht lesen [vgl. ebd.]. **Nur** der Empfänger oder Sender der Nachricht kann diese entschlüsseln [vgl. LB21]. Als Verfahren zur Ver- und Entschlüsselung der Nachrichten wird (unter anderem) die asymmetrische Verschlüsselung verwendet [vgl. ebd.]. Diese Arbeit beschränkt sich bei der asymmetrischen Verschlüsselung auf das RSA-Verfahren.

### 2.1 Grundlagen

Grundsätzlich wird bei der asymmetrischen Verschlüsselung ein Schlüsselpaar (key pair) verwendet, das aus einem privaten Schlüssel (private key) und einem öffentlichen Schlüssel (public key) besteht [vgl. BSW15a]. Diese beiden Schlüssel sind mathematisch so miteinander verknüpft, dass der öffentliche Schlüssel Nachrichten **nur** verschlüsseln, aber nicht entschlüsseln kann [vgl. ebd.]. **Nur** der zum Schlüsselpaar gehörende private Schlüssel kann die verschlüsselte Nachricht wieder entschlüsseln (siehe Abb. 1) [vgl. ebd.].

### 2.2 Mathematische Betrachtung

Alle Variablen der folgenden Berechnungen liegen im Bereich  $\mathbb{N}$  [vgl. Is16]. Zur Erzeugung des Schlüsselpaares benötigen wir zunächst zwei große zufällige Primzahlen  $P$

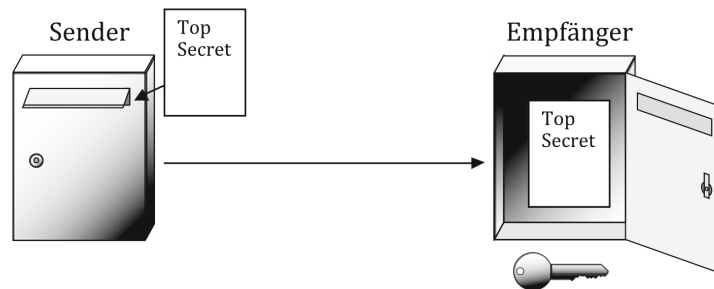


Abbildung 1: Jeder Sender kann mit dem öffentlichen Schlüssel die Nachricht „verschlüsseln“ (also eine Nachricht in den Briefkasten werfen), aber nur der Empfänger kann den Briefkasten mit seinem privaten Schlüssel öffnen und somit die Nachricht herausnehmen [vgl. BSW15b]

und  $Q$  [vgl. ebd.]. Daraus ergibt sich  $n = P \cdot Q$ , wobei  $P \neq Q$  ist, sodass  $P$  bzw.  $Q$  nicht durch  $\sqrt{n}$  bestimmt werden können [vgl. ebd.]. Der private Schlüssel setzt sich  
 95 hierbei aus den Komponenten  $\{n, d\}$  zusammen, während der öffentliche Schlüssel aus  $\{n, e\}$  besteht [vgl. Wa+13].

### 2.2.1 Eulersche Phi-Funktion

Die eulersche Phi-Funktion spielt eine wichtige Rolle im RSA-Verfahren [vgl. Tu08]. Grundsätzlich gibt  $\phi(x)$  an, wie viele positive teilerfremde Zahlen es bis  $x$  gibt (für  
 100 wie viele Zahlen der größte gemeinsame Teiler (gcd) mit  $x$  1 ist) [vgl. Ta13]. So ergibt sich  $\phi(6) = 2$  oder im Falle einer Primzahl  $\phi(7) = 7 - 1 = 6$ , also  $\phi(x) = x - 1$ , wenn  $x$  eine Primzahl ist, da jede Zahl kleiner als  $x$  teilerfremd sein muss [vgl. Tu08]. Somit gilt:

$$\phi(n) = \phi(P \cdot Q)$$

$$\phi(n) = \phi(P) \cdot \phi(Q)$$

$$\phi(P) = P - 1 \qquad \phi(Q) = Q - 1$$

$$\phi(n) = (P - 1) \cdot (Q - 1)$$

### 2.2.2 Generierung des Schlüsselpaares

105 Wie bereits erwähnt besteht sowohl der private als auch der öffentliche Schlüssel bestehen unter anderem aus der Komponente  $n$ :  $n = P \cdot Q$  [vgl. Ta96]. Um mit dem öffentlichen Schlüssel eine Verschlüsselung durchführen zu können wir die Komponente  $e$  benötigt [vgl. ebd.].  $e$  ist eine Zufallszahl, für welche folgende Bedingungen

erfüllt sein müssen [vgl. ebd.]:

$$e = \begin{cases} 1 < e < \phi(n) \\ \gcd(e, \phi(n)) = 1 \\ e \text{ kein Teiler von } \phi(n) \end{cases}$$

110 Nachdem die Komponente  $e$  gefunden wurde, ist der öffentliche Schlüssel nun vollständig und kann an den Absender übermittelt (bzw. veröffentlicht) werden. Zur Entschlüsselung einer Nachricht ist die Komponente  $d$ , welche im privaten Schlüssel enthalten ist, erforderlich [vgl. Ta96]:

$$\begin{aligned} \phi(n) &= (P - 1)(Q - 1) \\ d &= e^{-1} \mod \phi(n) \end{aligned}$$

Das Schlüsselpaar wurde nun vollständig berechnet und die beiden Schlüssel hängen  
115 mathematisch miteinander zusammen.

## 2.3 Sicherheit

Um die Sicherheit des RSA-Verfahrens bewerten zu können, müssen wir zunächst den Ver-/Entschlüsselungsprozess betrachten.

$$\begin{aligned} c &= m^e \mod n && \text{Verschlüsselung zu } c \text{ mit } m \text{ als Nachricht} \\ m &= c^d \mod n && \text{Umkehroperation (Entschlüsselung) von } c \text{ zu } m \end{aligned}$$

Damit die verschlüsselte Nachricht  $c$  wieder entschlüsselt werden kann, bräuchte ein  
120 Angreifer die Komponente  $d$ . Dadurch, dass  $d$  nur im privaten Schlüssel enthalten ist, müsste der Angreifer also selbst  $d$  berechnen, welches allerdings sehr rechenintensiv ist, da diese durch  $\phi(n)$  berechnet werden müsste. Eine Primfaktorzerlegung von  $n$  ist also nötig [vgl. Ta13]. Die Verschlüsselung von  $m$  nach  $c$  ist eine Trapdoor-Einwegfunktion [vgl. Kr16a]. Das bedeutet, dass es zwar einfach ist,  $f(x) = i$  zu  
125 berechnen (im Falle der RSA Verschlüsselung), es aber unmöglich ist, von  $i$  auf den ursprünglichen Wert  $x$  zu schließen, ohne eine weitere notwendige Komponente zu kennen (bei dem RSA-Verfahren wäre dies die Komponente  $d$ ) [vgl. ebd.]. Die ausschlaggebende Größe ist hierbei die Bitlänge des Produktes  $n$ . Wird die Bitlänge

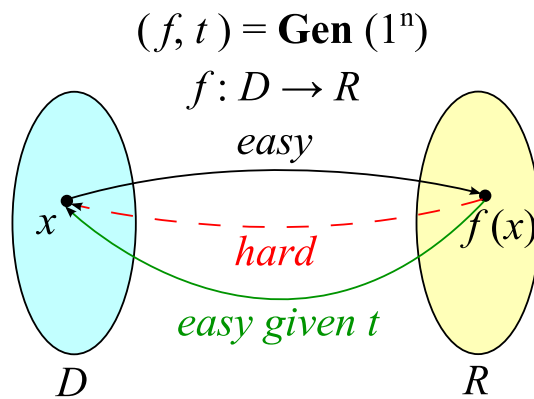


Abbildung 2: Eine Visualisierung der Trapdoor-Einwegfunktion [vgl. Kr16b]

von  $n$  erhöht, steigt der Zeitaufwand, welcher für die Primfaktorzerlegung von  $n$  benötigt wird, an. Somit empfiehlt das BSI eine Schlüssellänge (Länge von  $n$ ) von mindestens 3000 Bit, um in naher Zukunft vor Angriffen geschützt zu sein [vgl. Bu23a].

## 2.4 Vergleich zur symmetrischen Verschlüsselung

Der wesentliche Unterschied zur asymmetrischen Verschlüsselung besteht darin, dass bei symmetrischen Verschlüsselung derselbe Schlüssel zum Ver- und Entschlüsseln verwendet wird [vgl. IB21]. Im Vergleich zur asymmetrischen Verschlüsselung ist die symmetrische Verschlüsselung schneller und hat keine Beschränkung der Chiffretextlänge [vgl. HK20; Op24]. Allerdings muss der Schlüssel der symmetrischen Verschlüsselung dem anderen Kommunikationspartner sicher übermittelt werden, um die Nachrichten entschlüsseln zu können [vgl. ebd.]. Die symmetrische Verschlüsselung eignet sich daher für die Verschlüsselung von Benutzerdaten des Messengers (wie z.B. Chatverläufe) mit einem benutzerdefinierten Passwort.

## 3 Das Tor-Netzwerk

Ein weiterer zentraler Aspekt dieser Arbeit ist die Anonymität der Nutzer, wobei das Tor-Netzwerk eine mögliche Lösung bietet. Das normale Routing, wie wir es täglich nutzen, eignet sich für eine hohe Anonymität nicht, da Clients direkt mit den Zielserversn kommunizieren, der Zielservers somit die IP-Adresse des Clients sehen kann, wodurch eine Rückverfolgung der IP-Adresse möglich ist [vgl. El16; Fä23]. Genau an diesem Punkt setzt das Tor-Netzwerk an. Um das Problem der Rückverfolgung zu lösen, besteht das Tor-Netzwerk aus vielen *Nodes*, welche eingehende



Tor-Verbindungen annehmen und weiterverarbeiten [vgl. K 23]. Damit ein Client eine Anfrage über das Tor-Netzwerk senden kann, sucht er sich zunächst einen „Weg“, genannt *Circuit*, durch welchen die Anfrage des Clients geschickt werden kann [vgl. To24d]. Der *Circuit*, welcher für 10 Minuten gültig ist, besteht in der Regel aus drei *Nodes* [vgl. ebd.]. Nachdem der *Circuit* ausgelaufen ist, wird dieser durch den Client erneuert [vgl. To24c]. Die drei *Nodes* werden hier in drei Kategorien unterteilt: Die *Entry Node*, mit der sich der Client verbindet, die *Relay Node*, welche zwischen *Entry Node* und *Exit Node* liegt, und die *Exit Node*, welche sich mit dem Zielserver verbindet [vgl. K 23]. Der Client verschlüsselt die eigentliche Anfrage, welche er über das Tor-Netzwerk senden möchte, mehrfach, verpackt sie also in mehrere „Schalen“, die eine *Onion* bilden, und leitet diese über den *Circuit* an den Zielserver weiter [vgl. GRS99]. Zunächst wird die *Onion* vom Tor-Client an die *Entry Node* gesendet [vgl. K 23]. An jeder *Node*, wie der *Entry Node*, wird eine Schale der *Onion* „abgeschält“ (die *Onion* also einmal entschlüsselt), wodurch diese *Node* Informationen über die nächste *Node* der *Onion* erhält [vgl. GRS99]. Die *Node* leitet nun die *Onion* an den nächsten Knotenpunkt weiter [vgl. ebd.]. Sobald *Onion* die *Exit Node* erreicht hat, entfernt diese die letzte „Schale“ der Anfrage, wodurch diese nun vollständig entschlüsselt ist und an den Zielserver gesendet werden kann [vgl. ebd.]. Dieses Routing-Verfahren ist auch als *Onion-Routing* bekannt [vgl. Au18].

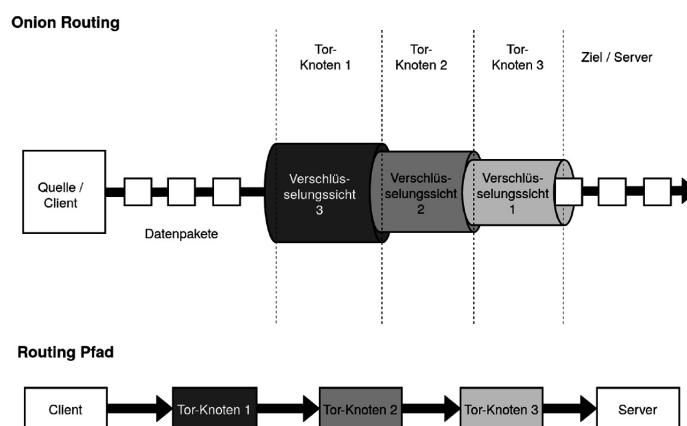


Abbildung 3: Das Prinzip des Onion-Routings [vgl. Wi+22a]

**Nur** die *Entry Node* kennt also die echte IP-Adresse des Clients und **nur** die *Exit Node* weiß, an welchen Zielserver die Anfrage geschickt wurde [vgl. K 23]. Zwischengeschaltete *Nodes* wie die *Relay Node* erkennen nur eine verschlüsselte Anfrage und haben keine Informationen über den eigentlichen Client oder Zielserver der

Anfrage [vgl. El23]. Eine mögliche Schwachstelle liegt bei der *Exit Node*, welche  
175 unverschlüsselte Anfragen an den Zielserversendet, somit Benutzerdaten (wenn  
nicht mit TLS verschlüsselt) bzw. IP-Adressen ausgelesen werden können [vgl. Mi17].  
Durch die Einrichtung von *Exit Nodes* im Tor-Netzwerk könnte ein Angreifer somit die  
Anonymität des Netzwerks bzw. der Benutzer gefährden (*Exit Node* des Angreifers  
auch bekannt als Bad-Relay) [vgl. ebd.].

### 180 3.1 Onion Services

Onion Services sind eine mögliche Lösung für den *Exit Node*-Angriff [vgl. To24g].  
Sie sind nicht auf *Exit Node* angewiesen, agieren nur innerhalb des Tor-Netzwerks  
mit anderen *Nodes* und verhalten sich wie normale Tor-Clients [vgl. ebd.]. Onion  
Services sind nicht wie die Zielservers im vorherigen Beispiel über das normale  
185 Internet erreichbar, sondern nur über das Tor-Netzwerk [vgl. To24f]. Im Gegensatz  
zu normalen öffentlichen Servern müssen bei Onion Services keine Ports geöffnet  
werden, damit sich ein Client mit dem Server verbinden kann, da der Onion Service  
mit dem Tor-Netzwerk nur über ausgehende Verbindungen kommuniziert (auch  
bekannt als *NAT-Punching*) und alle Daten darüber geleitet werden [vgl. ebd.].

#### 190 3.1.1 Verbindungsaufbau

Zunächst erzeugt der Onion Service ein Schlüsselpaar, bestehend aus einem öffentli-  
chen und einem privaten Schlüssel [vgl. Ge23b]. Unter anderem wird nun aus dem  
öffentlichen Schlüssel die Adresse des Onion Service generiert, die mit „onion“  
endet [vgl. ebd.]. Ein Beispiel für eine solche Adresse ist die der Suchmaschine  
195 DuckDuckGo:

*duckduckgogg42xjoc72x3sjasowoarfbgcmvfimaftt6twagswzczad.onion* [vgl. Du24].  
Der Onion Service verbindet sich nun wie ein normaler Client mit dem Tor-Netzwerk  
über einen *Circuit*, welcher in diesem Fall mit einer *Relay Node* anstatt einer *Exit*  
*Node* endet [vgl. To24f]. Der Service sendet nun eine Anfrage an die letzte *Node* im  
200 *Circuit*, sodass diese zu einem *Introduction Point* wird, wodurch andere Clients später  
den Service erreichen können [vgl. ebd.]. Dieser Vorgang wiederholt sich zweimal, bis  
der Onion Service drei verschiedene *Introduction Points* auf drei verschiedenen *Cir-*  
*cuits* gefunden hat [vgl. ebd.]. Nun wird ein *Onion Service descriptor* erstellt, welcher  
die Adressen der *Introduction Points* und notwendige Authentifizierungsschlüssel

205 enthält [vgl. To24e; To24a]. Dieser wird schließlich mit dem privaten Schlüssel des  
Onion Services signiert und an die Directory Authority<sup>1</sup> übermittelt, um den Onion  
Service für andere Tor-Clients erreichbar zu machen [vgl. ebd.]. Übertragen auf die  
Arbeit hat sich nun der Onion Service von Person A mit dem Tor-Netzwerk verbun-  
den, aber es braucht noch Person B, die sich über ihren Tor-Client mit dem Onion  
210 Service von Person A verbindet. Damit der Client von Person B eine Verbindung ein-  
gehen kann, fordert dieser nun die Directory Authority auf, den signierten *Descriptor*  
des Onion Services von Person A an den Client zu senden [vgl. K 23]. Der Client  
besitzt nun die Adressen der *Introduction Points* und die Signatur des *Descriptor*,  
sodass er die Signatur mit dem öffentlichen Schlüssel der Onion-Adresse überprüfen  
215 kann [vgl. ebd.]. Der Client generiert nun 20 zufällige Bytes (Secret) und sendet  
diese an eine zufällig ausgewählte *Relay Node*, die nun als *Rendezvous Point* dient  
[vgl. To23b]. Der Client sendet das Secret auch an einen der *Introduction Points*,  
damit der Onion Service mit dem gleichen Secret eine Verbindung zum *Rendezvous*  
*Point* aufbauen kann [vgl. To23a]. Wenn der Client und der Onion Service über ihre  
220 *Circuits* verbunden sind, leitet der *Rendezvous Point* die Nachrichten zwischen den  
beiden weiter [vgl. To23b]. Der Client und der Onion Service sind somit über das  
Tor-Netzwerk miteinander verbunden und benötigen keine *Exit Nodes* mehr, um  
kommunizieren zu können.

## 3.2 Sicherheit

225 Onion Services beheben im Vergleich zu normalen Zielservern im Tor-Netzwerk das  
Problem der *Exit Node* -Angriffe, dadurch dass sie nicht mehr auf *Exit Nodes* angewie-  
sen sind. In der Sicherheitsbetrachtung beziehe ich mich ausschließlich auf die  
Verbindung zwischen den Onion Services und den Tor-Clients (also nicht zwischen  
Tor-Client und *Exit Node*). Eine Deanonymisierung eines Onion Services theoretisch  
230 möglich, wenn der ISP (Internet Service Provider, also z.B. Telekom, EWE, etc.) ein-  
gehende und ausgehende Verbindungen zwischen Client und Onion Service bzw.  
zu deren *Relay Node* aufzeichnet und mithilfe von Machine Learning analysiert [vgl.  
Lo+24]. Die Umsetzung der theoretischen Grundlagen war bisher unter idealisierten  
Bedingungen erfolgreich, jedoch sind weitere Untersuchungen notwendig, um die

---

<sup>1</sup>Die Directory Authority ist ein Server, welcher Informationen über das Tor-Netzwerk speichert und verteilt, wie z.B. die *Descriptor* der Onion Services [vgl. To24b]

235 potenziellen Gefahren dieses Algorithmus einordnen zu können [vgl. ebd.]. Bei einer  
Zusammenarbeit der Regierungen Deutschlands, der USA und Frankreichs könnten  
78,34 % der *Circuits* deanonymisiert werden [vgl. ebd.]. Dieses Szenario erscheint je-  
doch unrealistisch, da die Bürger in Deutschland, den USA und Frankreich das Recht  
auf freie Meinungsäußerung haben und daher höchstwahrscheinlich keine Deanony-  
240 misierungsangriffe starten werden, um die Privatsphäre z.B. von Whistleblowern zu  
schützen [vgl. Am23; Re24]. Zudem reagiert die Organisation des Tor-Netzwerkes  
„The Tor Project“ relativ schnell auf mögliche Deanonymisierungsangriffe und ver-  
sucht diese zu beheben. Im Gegenzug führt die hohe Anonymität, die durch die  
vielen *Nodes* und die mehrfache Verschlüsselung erreicht wird, auch dazu, dass das  
245 Tor-Netzwerk im Vergleich zum normalen Routing fast um das 120-fache langsamer  
ist [vgl. LSS10]. Zudem ist das Tor-Netzwerk in der Praxis kaum zu blockieren,  
da es über 6.500 verschiedene *Nodes* gibt und somit kein zentraler Hauptserver  
existiert, von dem das Tor-Netzwerk abhängig ist<sup>2</sup> [vgl. Wi+22b].

## 4 Dezentralisierung

250 Mit den vorgeschlagenen Konzepten ist der Messenger imstande anonym (durch das  
Tor-Netzwerk und Onion Services) und sicher (durch die E2EE) zu kommunizieren,  
jedoch wurde die Infrastruktur des Messengers noch nicht behandelt. Dafür ist die  
Betrachtung und Abwägung eines zentralen bzw. dezentralen Netzwerkes notwendig.  
Ein zentrales Netzwerk, zum Beispiel das Netzwerk von WhatsApp oder Signal, be-  
steht aus einem Hauptserver, welcher alle Anfragen der Clients weiterverarbeitet  
255 [vgl. La22; Si16; Ge21]. Der Client muss bei dieser Netzwerkstruktur dem Haupt-  
server „vertrauen“ und kann nicht überprüfen, ob der kompromittiert wurde [vgl.  
Se19]. Dezentrale Netzwerke bestehen hingegen aus mehreren Servern, auf welche  
Rechenoperationen und oder Daten aufgeteilt werden [vgl. Li23].

### 260 4.1 Sicherheit

Durch die Abhängigkeit des zentralen Netzwerkes von einem Hauptserver kann ein  
Angreifer gezielter, z.B. durch DDoS-Angriffe oder Kompromittierung, das gesamte  
Netzwerk außer Betrieb setzen oder möglicherweise Nutzerdaten (z.B. Telefonnum-

---

<sup>2</sup>Es ist zwar möglich die IP-Adressen jeglicher *Relay Nodes* zu blockieren, jedoch ist dies durch  
Pluggable Transports umgänglich [vgl. Pa+16]

mern bei Messengern) auslesen [vgl. De22]. Ein dezentrales Netzwerk mit einer  
265 Peer-to-Peer-Architektur<sup>3</sup> bietet dagegen eine größere Angriffsfläche, sodass meh-  
rere Knoten im Netzwerk kompromittiert oder abgeschaltet werden müssen, um  
das Netzwerk für deren Benutzer unzugänglich zu machen [vgl. Ge23a]. Es ist je-  
doch wichtig, dass die Knoten im Netzwerk vertrauenswürdig sind (im Beispiel des  
Messengers, dass nur die Gesprächsteilnehmer Teil des Netzwerks sind), um zu  
270 verhindern, dass ein Angreifer die Onion-Adressen der Gesprächsteilnehmer durch  
einfaches Beitreten zum Netzwerk auslesen kann.

## 5 Umsetzung des Messengers

Folgende Kriterien müssen erfüllt sein, um den Messenger sicher, anonym und  
einfach zu gestalten:

275 **Einfache Handhabung und Installation** –Für die Installation und Nutzung des  
Messengers sollten möglichst wenig technische Kenntnisse nötig sein

**Peer-to-Peer-Verbindung** –Die Kommunikation zwischen Messengern sollte nur  
über eine direkte Verbindung erfolgen

**Anonymität** –Verbindungen zwischen Messengern nur das Tor-Netzwerk, keine  
280 Anfragen über das normale Internet

**Sicherheit** –Verschlüsselte Speicherung von Chatverläufen und Schlüsselpaaren,  
um Auslesen der Daten (z.B. durch totalitäre Staaten) zu verhindern

**E2EE** –Verschlüsselung der Nachrichten und Verifikation des Kommunikationspart-  
ners

285 Damit der Benutzer keine Konsole verwenden muss, um den Messenger zu benutzen,  
habe ich eine Desktopanwendung mit Rust und Tauri entwickelt. Tauri erfordert  
hierbei keine zusätzlichen Interpreter oder Bibliotheken, was die Installation verein-  
facht. Außerdem kann die Anwendung für Windows, Linux und macOS kompiliert  
werden [vgl. Ru24]. Rust bietet eine hohe Performance und ist Memory Safe, wo-  
290 durch viele Sicherheitslücken, wie Buffer Overflows, verhindert werden können

---

<sup>3</sup>Peer-to-Peer bedeutet, dass jeder Knoten im Netzwerk sowohl Client als auch Server sein kann,  
die bidirektional kommunizieren [vgl. HD05]

[vgl. Ma23]. Das Tauri Framework bietet hier zwischen dem User Interface (UI), welches ich in Typescript und React programmiert habe, und dem Rust-Backend eine Schnittstelle, um Daten (*payloads*) zwischen Frontend und Backend zu versenden [vgl. Ta23]. Ich werde in diesem Kapitel nicht auf die Implementierung des Frontends  
295 eingehen, da dieser nur für die Benutzeroberfläche zuständig ist und keine weiteren Funktionalitäten bietet.

## 5.1 Peer-to-Peer-Verbindung

Wichtig bei der Peer-to-Peer-Funktionalität ist, dass der Messenger sowohl ein Client als auch ein Server sein kann, um Nachrichten zu empfangen und zu senden.  
300 Um als Server zu agieren, startet jeder Messenger einen HTTP-Server, der einen HTTP-Endpunkt anbietet (in diesem Messenger */ws/*), mit welchem Clients eine Websocket<sup>4</sup>-Verbindung aufbauen können. Der Server ist somit in der Lage, sowohl Packets zu empfangen als auch zu senden.

```
HttpServer::new(|| {  
    return App::new()  
        // Return the default message to tell other clients  
        ↪ that this server is actually alive  
        .service(hello)  
        // The websocket endpoint  
        .route("/ws/", web::get().to(ws_index));  
})  
  
// Bind just to localhost and run  
    .bind(("127.0.0.1", CONFIG.service_port()))?  
    .run()  
    .await?;
```

Analog dazu hat jeder Messenger auch einen Websocket-Client, der sich direkt  
305 über das Tor-Netzwerk mit den anderen Messengern verbinden kann. Der Verbindungsaufbau zu anderen Messengern sieht wie folgt aus:

```
/// `onion_hostname` is the onion address of the other  
↪ messenger to connect to
```

---

<sup>4</sup>Ein Protokoll für bidirektionale Kommunikation zwischen Server und Client über HTTP [vgl. Mi23]

```

pub async fn new(onion_hostname: &str) -> Result<Self> {
    // [...]

    let connect_host = onion_hostname.to_string();

    // [...]

    // The address which is used to connect to the websocket
    let onion_addr = format!("ws://{}.onion/ws/", connect_host);

    debug!("[CLIENT] Creating proxy...");

    // Creating the Socks5Proxy client which is used to connect
    ↪ to the tor network
    let proxy = SocksProxy::new()?;
    debug!("[CLIENT] Connecting Proxy...");
    let mut onion_addr = Url::parse(&onion_addr)?;
    onion_addr
        .set_scheme("ws")
        .or(Err(anyhow!("[CLIENT] Could not set scheme")))?;

    // Connecting to the destination host using the proxy
    let sock = proxy.connect(&onion_addr).await?;

    // [...]

    // Connecting to the websocket with the client
    let (ws_stream, _) =
        ↪ tokio_tungstenite::client_async(&onion_addr, sock).await?;

    // [...]
}

```

Damit zwei Benutzer über den Messenger Nachrichten versenden können, muss ein Messenger die Rolle des Clients und der andere die Rolle des Servers übernehmen.

Dadurch, dass jeder Messenger sowohl Client als auch Server sein kann, müssen  
310 empfangene Nachrichten von Client und Server zusammengeführt und an das Front-  
end übermittelt werden, welches in der Bibliothek *messaging* implementiert ist:

```
/// A Manager which holds the connections by receiver name
pub struct MessagingManager {
    /// The connections by receiver name
    pub(crate) connections: Arc<RwLock<HashMap<String,
        ↪ Connection>>>,
}

/// A generalized connection struct that can be used for both
↪ the client and the server
#[derive(Debug, Clone)]
pub struct Connection {
    pub(super) info: Arc<RwLock<ConnInfo>>,
    read_thread: Arc<Option<ConnectionReadThread>>,
    pub(crate) self_verified: Arc<RwLock<bool>>,
    pub(crate) verified: Arc<RwLock<bool>>,
    pub(super) receiver_host: String,

    notifier_ready_tx: Sender<>,
    notifier_ready_rx: Receiver<>,
}
```

Der *MessagingManager* speichert sowohl Client-Server(C2S)- als auch Server-Client  
(S2C)-Verbindungen in einem allgemeinen Konstrukt, der *Connection*. Diese *Con-*  
*nections* werden in einer *HashMap* gespeichert. Der *MessagingManager* stellt dem  
315 Frontend eine generelle Schnittstelle zum Senden und Empfangen von Nachrichten  
zur Verfügung. Wenn in diesem Beispiel das Frontend von Messenger B eine Anfrage  
an den *MessagingManager* schickt, eine Nachricht an Messenger A zu senden, wird  
die Nachricht verschlüsselt und an den entsprechenden Client weiterleitet. Der  
Client sendet nun die Nachricht über die Websocket-Verbindung an den Server von  
320 Messengers A.



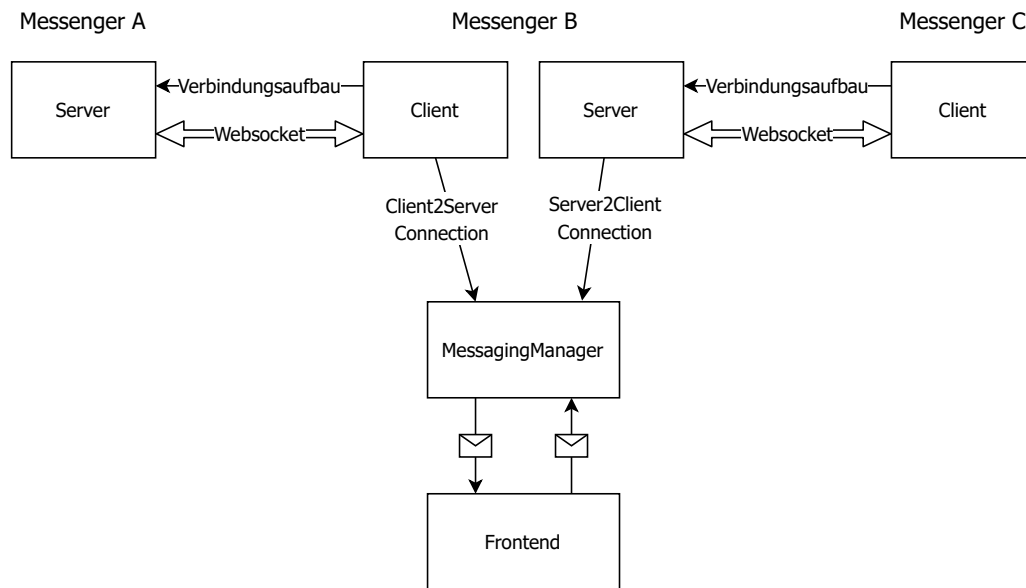


Abbildung 4: Mögliches Beispiel für Messenger B, welcher eine Verbindung zu Messenger A aufgebaut hat, und Messenger C, welcher mit Messenger B verbunden ist

## 5.2 Tor-Netzwerk

Damit der Messenger das Tor-Netzwerk verwenden kann, muss zunächst eine Verbindung zum Tor-Netzwerk hergestellt werden, welches über die *tor-proxy* Bibliothek geschieht. Der HTTP-Server wird über den Tor-Proxy in das Tor-Netzwerk als Onion Service eingebunden. Damit sich der Tor-Proxy gestartet werden kann, wird eine Konfigurationsdatei benötigt, welche durch die *tor-proxy* Bibliothek erstellt wird:

```

/// Converts the configuration to a `torrc` file format
async fn to_text(&self) -> Result<String> {
    let data = PathBuf::from(self.data_dir());

    let geo_ip = data.clone().join("geoip");
    let geo_ip6 = data.clone().join("geoip6");

    #[allow(unused_mut)]
    let mut config = format!(
        "SocksPort {}
        HiddenServiceDir \"{}\"
        HiddenServicePort 80 {}
    ");
}

```

```

DataDirectory "{}\\"
GeoIPFile "{}\\"
GeoIPv6File "{}\\",
    self.get_socks_host(),
    self.service_dir().to_string_lossy().replace("\\", "/"),
    self.get_hidden_service_host(),
    self.data_dir().to_string_lossy().replace("\\", "/"),
    geo_ip.to_string_lossy().replace("\\", "/"),
    geo_ip6.to_string_lossy().replace("\\", "/"),
);

//[...]

Ok(config)
}

```

Nun muss nur noch der Tor-Proxy gestartet werden:

```

let mut child = Command::new(TOR_BINARY_PATH.clone());
child.args(["-f", &get_torrc().to_string_lossy()]);
child.current_dir(TOR_BINARY_PATH.parent().unwrap());
child.stdout(Stdio::piped());
child.stderr(Stdio::piped());
//[...]
let child = child.spawn()?;

```

Wenn der Proxy gestartet ist, werden eingehende Verbindungen zum Onion Service dieses Messengers auf den Port des HTTP-Servers umgeleitet. Der Messenger ist also  
330 mit dem Tor-Netzwerk verbunden und der HTTP-Server ist über eine Onion Adresse erreichbar. Andere Messenger können sich folglich anonym über das Tor-Netzwerk mit diesem Messenger verbinden.

## 5.3 Sicherheit

Ein symmetrisch verschlüsselter Datenspeicher wird durch die Bibliothek *secure-*  
335 *storage* implementiert. Mit dieser Bibliothek können beliebige *Structs* in Text umge-

wandelt und verschlüsseln bzw. ausgelesen und entschlüsselt werden. Die *storage-internal* Bibliothek verwendet hierbei die Methoden der *secure-storage* Bibliothek und dient als Wrapper, um die Daten auf der Festplatte zu speichern und wieder auszulesen. Der Datenspeicher enthält hierbei eine *HashMap*, die als Schlüssel die  
340 Onion Adresse anderer Messengers und als Wert die Chatinformationen enthält. Chatinformationen sind zum Beispiel gesendete oder empfangene Nachrichten, Schlüsselpaare und öffentliche Schlüssel.

```
#[derive(Clone, Debug, Serialize, Deserialize, Zeroize,  
    ↪ ZeroizeOnDrop)]  
pub struct StorageChat {  
    /// All messages sent to this receiver or received from this  
    ↪ receiver  
    pub messages: Vec<ChatMessage>,  
    // [...]  
  
    /// The public key which is used to encrypt messages when  
    ↪ being sent to the receiver [...]  
    #[zeroize(skip)]  
    pub rec_pub_key: Option<PublicKey>,  
    /// Private key of this messenger used to decrypt the  
    ↪ messages that are being received [...]  
    pub priv_key: PrivateKey,  
}
```

Der *StorageChat* enthält dabei entweder die an den Empfänger gesendeten oder von ihm empfangenen Nachrichten (*messages*), den öffentlichen Schlüssel des Kommunikationspartners (*rec\_pub\_key*) und den privaten Schlüssel des Chats *priv\_key*. Um  
345 die Nutzerdaten vor weiteren möglichen Angriffen zu schützen, verwende ich die Bibliothek *zeroize*, die sensible Daten (wie private Schlüssel) aus dem Arbeitsspeicher löscht, wenn die Applikation geschlossen wird (Zeroization) [vgl. Na24]. Zudem ist es durch die symmetrische Verschlüsselung des Datenspeichers für Angreifer nicht  
350 möglich (sofern die Applikation geschlossen ist), private Schlüssel oder Chatverläufe auszulesen, wodurch die Privatsphäre der Nutzer geschützt wird.

## 5.4 Ende-zu-Ende-Verschlüsselung

Das letzte Kriterium, welches der Messenger nun erfüllen muss, ist die Ende-zu-Ende-Verschlüsselung. Dazu muss zunächst die Identität des anderen Kommunikationspartners überprüft werden.

### 5.4.1 Verifizierung der Identität

Um das Konzept der E2EE umzusetzen, muss der Sender einer Nachricht sicher sein, dass der Empfänger tatsächlich derjenige ist, für den er sich ausgibt. Zum Zwecke der Erklärung gehen wir nun davon aus, dass Messenger A eine Nachricht an Messenger B senden möchte. Messenger A wäre in diesem Fall der Client und Messenger B der Server. Messenger A und Messenger B erzeugen zunächst (falls noch nicht vorhanden) private Schlüssel und erstellen ein neues *StorageChat*-Konstrukt, in welchem die privaten Schlüssel gespeichert werden. Damit sowohl Client als auch Server sicher sein können, dass der Kommunikationspartner tatsächlich der ist, für den er sich ausgibt, wird vom Client zunächst ein *Identity*-Packet versendet. Dieses besteht aus dem eigenen Hostnamen, der Signatur des Hostnames addiert mit dem Zielhostname (durch den privaten Schlüssel des Chats signiert) und dem öffentlichen Schlüssel des Schlüsselpaares (vom Chat). Das *Identity*-Packet wird also wie folgt generiert:

```
async fn identity(receiver: &str) -> Result<Self> {  
    // Get the own hostname  
    let own_hostname = get_service_hostname(true)  
    .await?  
    .ok_or(anyhow!("Could not get own hostname"))?;  
  
    // Get the private key for the receiver (used to decrypt  
    ↪ messages)  
    let priv_key =  
    ↪ StorageManager::get_or_create_private_key(receiver).await?;  
    let pub_key = priv_key.clone().try_into()?;  
  
    // Creating a signature for the receiver with the hostname  
    let keypair = PKey::from_rsa(priv_key.0)?;
```

```

let mut signer = Signer::new(*DIGEST, &keypair)?;

signer.update((own_hostname.clone() + receiver).as_bytes())?;
let signature = signer.sign_to_vec()?;

// Return the identity packet
Ok(C2SPacket::SetIdentity(Identity {
    hostname: own_hostname,
    signature,
    pub_key
}))
}

```

370 Ein wichtiges Detail spielt hierbei die Signatur des *Identity*-Packets. Sie besteht sowohl aus dem eigenen Hostname als auch dem Ziel des Hostnames, um zu verhindern, dass ein Angreifer das *Identity*-Packet abfängt und sich damit bei anderen Messengern als dieser Messenger ausgibt. Nachdem der Server das Packet empfangen hat, überprüft er es. Dazu ruft er den öffentlichen Schlüssel des Kommunikationspartners ab, und überprüft damit die Signatur des *Identity*-Packets:

```

async fn verify(&self) -> Result<()> {
    let Identity { hostname: remote_host, pub_key, signature } =
        ↪ self;
    // Get the own hostname
    let own_hostname =
        ↪ get_service_hostname(!remote_host.ends_with("-dev-client"))
            .await?
            .ok_or(anyhow!("Could not get own hostname"))?;

    debug!("Reading to verify...");
    // Check if there is a public key for the given receiver
    let local_pub_key = STORAGE.read().await.get_data(|e| {
        let key = e.chats.get(remote_host)

```

```

        .and_then(|e| e.rec_pub_key.clone());

    Ok(key)
}).await?;

debug!("Done");

// If there is a public key, verify the signature
if let Some(local_pub_key) = local_pub_key {
    info!("Verifying for hostname: {:?}", remote_host);
    let keypair = PKey::from_rsa(local_pub_key.0)?;
    let mut verifier = Verifier::new(*DIGEST, &keypair)?;

    // Verify the signature with the public key
    verifier.update((remote_host.to_string() +
        ↪ &own_hostname).as_bytes())?;
    let is_valid = verifier.verify(&signature)?;

    if !is_valid {
        warn!("[INVALID_SIGNATURE] Wrong signature was given!
            ↪ This may be an attack!");
        return Err(anyhow!("Wrong signature was given! This
            ↪ may be an attack!"));
    }

    Ok(())
} else {
    // Adding public key to storage because it does not
    ↪ exist

    info!("No chat with hostname '{}' yet. Adding new
        ↪ receiver...", remote_host);
    STORAGE.read().await.modify_storage_data(|e| {

```

```

        let res = e.chats.entry(remote_host.clone())
            .or_insert_with(||
                ↪ StorageChat::new(&remote_host));

        res.rec_pub_key = Some(pub_key.clone());

        Ok(())
    }).await?;
    debug!("Done.");

    Ok(())
}
}

```

Ist die Identität gültig, sendet der Server seine Identität an den Client. Der gleiche Validierungsprozess findet nun auch auf dem Client statt. Wenn der Client die *Identity* als gültig betrachtet, ist eine sichere Verbindung zwischen Client und Server hergestellt.

## 380 5.5 Nachrichten versenden

Gehen wir davon aus, dass der Client an den Server über die sichere Verbindung eine Nachricht versenden möchte. Dazu ruft er zunächst den öffentlichen Schlüssel des Empfängers aus dem Datenspeicher ab und verschlüsselt die Nachricht mit dem RSA-Verfahren. Anschließend sendet er die verschlüsselte Nachricht an den Server.

```

/// Sends a message to the receiver with the given date and
↪ msg, internal function
async fn inner_send(&self, msg: &str, date: u128) -> Result<()>
    ↪ {
        let raw = msg.as_bytes().to_vec();

        let tmp = self.receiver_host.clone();
        debug!("Reading public key for {}...", tmp);
    }

```

```

// Firstly we need to get the public key of the receiver
let pub_key = STORAGE
    .read()
    .await
    .get_data(|e| {
        e.chats
            .get(&tmp)
            .and_then(|e| e.rec_pub_key.clone())
            .ok_or(anyhow!("The pub key was empty (should never
↪ happen)"))
    })
    .await?;

debug!("Sending");
// And encrypt the message
let bin = pub_key.encrypt(&raw)?;

// And send it to the receiver, if we are the client, send a
↪ client packet if not, server packet
match &*self.info.read().await {
    ConnInfo::Client(c) => {
        debug!("Client msg");
        let packet = C2SPacket::Message((date, bin));
        c.feed_packet(packet).await?;
    }
    ConnInfo::Server(_, s) => {
        debug!("Server msg");
        let packet = S2CPacket::Message((date, bin));

        s.send(packet).await?;
    }
};

```



```
Ok()  
}
```

385 Der Server empfängt die verschlüsselte Nachricht vom Client über die Websocket-Verbindung und entschlüsselt sie anschließend mit dem privaten Schlüssel des Chats. Damit ist die Nachricht nun empfangen und entschlüsselt, sodass sie an das Frontend übermittelt werden kann. Benutzer können nun sicher und anonym miteinander kommunizieren.

## 390 6 Nachteile und Lösungsmöglichkeiten

Der Messenger bietet zwar hohe Anonymität und Sicherheit, jedoch ist es unerlässlich auch die Nachteile des Messengers und deren Lösungsmöglichkeiten zu betrachten. Durch die Struktur des Tor-Netzwerkes können Datenmengen um fast das 120-fache langsamer übermittelt werden, welches bei einfachen Textnachrichten  
395 nicht auffallen mag, bei größeren Datenmengen, wie zum Beispiel Bildern, jedoch ein Problem darstellen könnte [vgl. LSS10]. Dadurch, dass der Client eine Websocket-Verbindung mit dem Onion Service aufbaut, herrscht hier ein *long-term-circuit*, wodurch der *Circuit* zwischen Onion Service und Client nicht erneuert wird, somit für Angriffe anfälliger sein könnte [vgl. To24c]. Zusätzlich ist die Nachrichtenlänge  
400 durch das Padding der asymmetrischen Verschlüsselung begrenzt [vgl. Op24]. Eine hybride Verschlüsselung, also eine Kombination aus asymmetrischer und symmetrischer Verschlüsselung, ist eine mögliche Lösung für die limitierte Nachrichtenlänge [vgl. KW11]. Dabei generiert bereits bei dem Verbindungsaufbau der Server einen zufälligen symmetrischen Schlüssel [vgl. ebd.]. Dieser wird mit dem öffentlichen  
405 Schlüssel des Clients verschlüsselt und an den Client übermittelt, welcher diesen entschlüsselt und abspeichert, sodass sowohl Server als auch Client den gleichen symmetrischen Schlüssel teilen [vgl. ebd.]. Mit diesem symmetrischen Schlüssel können nun Nachrichten ausgetauscht werden. Somit werden die Vorteile der symmetrischen Verschlüsselung (schnell und keine Nachrichtenlängenbegrenzung) mit  
410 den Vorteilen der asymmetrischen Verschlüsselung (sicherer Austausch von Schlüsseln) kombiniert [vgl. Ro22]. Aufgrund der Infrastruktur dieses Messengers, müssen beide Kommunikationspartner den Messenger geöffnet haben, damit diese mit-

einander kommunizieren können (der Onion Service wird nur durch Öffnen des Messengers gestartet).

## 415 7 Fazit

Durch das Tor-Netzwerk und die dezentrale Infrastruktur bietet der Messenger aus heutiger Sicht ein hohes Maß an Anonymität und Sicherheit. Zusätzlich schützt die Ende-zu-Ende-Verschlüsselung die Nutzer vor möglichen Angreifern. Die Plattform-unabhängigkeit der Desktopanwendung und die einfache Bedienung ermöglichen  
420 es auch technisch unerfahrenen Nutzern, die in einem totalitären Staat leben, den Messenger zu nutzen und sicher mit der Außenwelt zu kommunizieren. Aus aktuellen Forschungen besteht zurzeit kein umsetzbarer Deanonymisierungsangriff auf die Onion Services bzw. das Tor-Netzwerk, ob dies auch zukünftig noch Gültigkeit besitzt, kann aus heutiger Sicht nicht beurteilt werden. Normale Messenger, wie  
425 wir sie täglich nutzen, wird dieser Messenger jedoch nicht ersetzen können, da die Geschwindigkeit des Tor-Netzwerks um den Faktor 120 langsamer ist als die des normalen Internets und beide Kommunikationspartner ständig miteinander verbunden sein müssten, um sich gegenseitig Nachrichten schicken zu können. Die hohe Anonymität des Tor-Netzwerks hat nicht nur positive Effekte, sondern könnte  
430 auch die organisierte Kriminalität fördern, was in einer weiteren Arbeit untersucht werden könnte. Der Messenger ist ein erster Schritt für eine sichere und anonyme Kommunikation, jedoch muss in diesem Bereich noch viel geforscht werden, um die Anonymität und Sicherheit weiterhin zu gewährleisten und sich vor möglichen Angriffen zu schützen. Der Messenger könnte in Zukunft durch Features wie hybride  
435 Verschlüsselung zur Umgehung der Längenbeschränkung von Nachrichten oder auch das Versenden von Bildern und Videos weiterentwickelt werden. Meiner Meinung nach ist die gemeinsame Zusammenarbeit und Weiterentwicklung, z.B. durch Open Source, dieses Clients wichtig, um die Meinungsfreiheit und die Privatsphäre der betroffenen Bürger weiterhin zu schützen.

## Literatur

- [Am23] Amnesty International. *Amnesty International Report 2022/23*. London WC1X 0DW, United Kingdom: International Amnesty Ltd, 2023, S. 307–311, 122–128, 196–201. ISBN: 978-0-86210-502-0. URL: <https://www.amnesty.org/en/wp-content/uploads/2023/04/WEBPOL1056702023ENGLISH-2.pdf> (besucht am 13. 01. 2024).
- [Au18] Autumn. „How does Tor \*really\* work?“ In: *HackerNoon* (Feb. 2018). URL: <https://hackernoon.com/how-does-tor-really-work-c3242844e11f> (besucht am 23. 01. 2024).
- [BSW15a] Albrecht Beutelspacher, Jörg Schwenk und Klaus-Dieter Wolfenstetter. „Kryptologische Grundlagen“. In: *Moderne Verfahren der Kryptographie: Von RSA zu Zero-Knowledge*. Wiesbaden: Springer Fachmedien Wiesbaden, 2015, S. 14. ISBN: 978-3-8348-2322-9. DOI: 10.1007/978-3-8348-2322-9\_2. URL: [https://doi.org/10.1007/978-3-8348-2322-9\\_2](https://doi.org/10.1007/978-3-8348-2322-9_2).
- [Bh23] Jasdeep Bhatia. *Understanding System Design Whatsapp & Architecture*. Mai 2023. URL: [https://pwskills.com/blog/system-design-whatsapp/#Client-Server\\_Architecture](https://pwskills.com/blog/system-design-whatsapp/#Client-Server_Architecture) (besucht am 22. 01. 2024).
- [Bu23a] Bundesamt für Sicherheit in der Informationstechnik. *BSI TR-02102-1 Kryptographische Verfahren: Empfehlungen und Schlüssellängen*. Bundesamt für Sicherheit in der Informationstechnik, Jan. 2023, S. 41. URL: [https://www.bsi.bund.de/SharedDocs/Downloads/DE/BSI/Publikationen/TechnischeRichtlinien/TR02102/BSI-TR-02102.pdf?\\_\\_blob=publicationFile&v=9](https://www.bsi.bund.de/SharedDocs/Downloads/DE/BSI/Publikationen/TechnischeRichtlinien/TR02102/BSI-TR-02102.pdf?__blob=publicationFile&v=9) (besucht am 21. 01. 2024).
- [Bu24] Bundesamt für Sicherheit in der Informationstechnik. *Darknet und Deep Web – wir bringen Licht ins Dunkle*. Feb. 2024. URL: [https://www.bsi.bund.de/DE/Themen/Verbraucherinnen-und-Verbraucher/Informationen-und-Empfehlungen/Darknet-und-Deep-Web/darknet-und-deep-web\\_node.html](https://www.bsi.bund.de/DE/Themen/Verbraucherinnen-und-Verbraucher/Informationen-und-Empfehlungen/Darknet-und-Deep-Web/darknet-und-deep-web_node.html) (besucht am 19. 02. 2024).
- [Bu23b] Bundeskriminalamt. *BKA - Listenseite für Pressemitteilungen 2023 - Veröffentlichung Bundeslagebild: über 130.000 Fälle von Cybercrime in 2022*. Aug. 2023. URL: [https://www.bka.de/DE/Presse/Listenseite\\_](https://www.bka.de/DE/Presse/Listenseite_)

- Pressemitteilungen/2023/Presse2023/230816\_PM\_BLB\_Cybercrime.html (besucht am 19. 02. 2024).
- [De22] Anish Devasia. „Cybersecurity in Centralized Vs. Decentralized Computing“. In: *Control Automation* (Sep. 2022). URL: <https://control.com/technical-articles/cybersecurity-in-centralized-vs-decentralized-computing> (besucht am 20. 02. 2024).
- [Du24] DuckDuckGo. *duckduckgo onion at DuckDuckGo*. Feb. 2024. URL: <https://duckduckgo.com/?q=duckduckgo+onion&atb=v160-7&ia=web> (besucht am 02. 02. 2024).
- [El23] Electronic Frontier Foundation. *What is a Tor Relay?* Feb. 2023. URL: <https://www.eff.org/de/pages/what-tor-relay> (besucht am 20. 02. 2024).
- [El16] Elektronik Kompendium. *TCP/IP*. Nov. 2016. URL: <https://www.elektronik-kompendium.de/sites/net/0606251.htm> (besucht am 23. 01. 2024).
- [Fä23] Jan Fährmann. „Rechtliche Rahmenbedingungen der Nutzung von Positionsdaten durch die Polizei und deren mögliche Umsetzung in die Praxis—zwischen Strafverfolgung und Hilfe zur Wiedererlangung des Diebesguts“. In: *Private Positionsdaten und polizeiliche Aufklärung von Diebstählen*. Nomos Verlagsgesellschaft mbH & Co. KG. 2023, S. 142. ISBN: 978-3-8487-5905-7.
- [Ge23a] GeeksforGeeks. *Comparison Centralized Decentralized and Distributed Systems*. Sep. 2023. URL: <https://www.geeksforgeeks.org/comparison-centralized-decentralized-and-distributed-systems> (besucht am 09. 02. 2024).
- [Ge23b] GeeksforGeeks. *What are onion services in Tor Browser*. Okt. 2023. URL: <https://www.geeksforgeeks.org/what-are-onion-services-in-tor-browser> (besucht am 04. 02. 2024).
- [Ge21] Gemini. *Networks: Decentralized, Distributed, & Centralized | Gemini*. Juli 2021. URL: <https://www.gemini.com/cryptopedia/blockchain-network-decentralized-distributed-centralized#section-what-is-a-centralized-network> (besucht am 08. 02. 2024).

- [GRS99] David Goldschlag, Michael Reed und Paul Syverson. „Onion Routing for Anonymous and Private Internet Connections“. In: *Communications of the ACM* 42 (Feb. 1999). doi: 10.1145/293411.293443.
- [Gr14] Andy Greenberg. „Hacker Lexicon: What Is End-to-End Encryption?“ In: *WIRED* (Nov. 2014). URL: <https://www.wired.com/2014/11/hacker-lexicon-end-to-end-encryption> (besucht am 16. 01. 2024).
- [HK20] Aljaafari Hamza und Basant Kumar. „A Review Paper on DES, AES, RSA Encryption Standards“. In: *2020 9th International Conference System Modeling and Advancement in Research Trends (SMART)*. 2020, S. 337. doi: 10.1109/SMART50582.2020.9336800.
- [HD05] Manfred Hauswirth und Schahram Dustdar. „Peer-to-peer: Grundlagen und Architektur“. In: *Datenbank-Spektrum* 13.2005 (2005), S. 1.
- [Ho16] Chris Hoffman. „How the ‚Great Firewall of China‘ Works to Censor China’s Internet“. In: *How-To Geek* (Sep. 2016). URL: <https://www.howtogeek.com/162092/htg-explains-how-the-great-firewall-of-china-works> (besucht am 19. 02. 2024).
- [IB21] IBM. *IBM Documentation*. März 2021. URL: <https://www.ibm.com/docs/en/ztpf/2020?topic=concepts-symmetric-cryptography> (besucht am 23. 01. 2024).
- [Is16] Ni Made Satvika Iswari. „Key generation algorithm design combination of RSA and ElGamal algorithm“. In: *2016 8th International Conference on Information Technology and Electrical Engineering (ICITEE)*. 2016, S. 1–2. doi: 10.1109/ICITEED.2016.7863255.
- [K 23] Arun K. L. „Detailed Anatomy of the Tor Network | Structure of the Tor Network“. In: *Sec Master* (Okt. 2023). URL: <https://theseccmaster.com/detailed-anatomy-of-the-tor-network-structure-of-the-tor-network> (besucht am 23. 01. 2024).
- [Kr16a] N. Krzyworzeka. „Asymmetric cryptography and trapdoor one-way functions“. In: *Automatyka / Automatics* 20.2 (2016), S. 40–42. ISSN: 1429-3447. doi: 10.7494/automat.2016.20.2.39.

- [KW11] Ralf Küsters und Thomas Wilke. „Asymmetrische Verschlüsselung“. In: *Moderne Kryptographie: Eine Einführung*. Wiesbaden: Vieweg+Teubner, 2011, S. 175. ISBN: 978-3-8348-8288-2. DOI: 10.1007/978-3-8348-8288-2\_6. URL: [https://doi.org/10.1007/978-3-8348-8288-2\\_6](https://doi.org/10.1007/978-3-8348-8288-2_6).
- [La22] Lakhwinder. *Understanding WhatsApp Architecture*. Aug. 2022. URL: <https://hackernoon.com/understanding-whatsapp-architecture> (besucht am 08. 02. 2024).
- [Li23] Max (Chong) Li. „What A Decentralized Infrastructure Is And How It Actually Works“. In: *Forbes* (Mai 2023). URL: <https://www.forbes.com/sites/digital-assets/2023/05/07/what-a-decentralized-infrastructure-is-and-how-it-actually-works> (besucht am 08. 02. 2024).
- [LSS10] Tomáš Liška, Tomáš Sochor und Hana Sochorová. „Comparison between normal and TOR-Anonymized Web Client Traffic“. In: *Procedia - Social and Behavioral Sciences* 9 (2010). World Conference on Learning, Teaching and Administration Papers, S. 545. ISSN: 1877-0428. DOI: <https://doi.org/10.1016/j.sbspro.2010.12.194>. URL: <https://www.sciencedirect.com/science/article/pii/S1877042810022998>.
- [Lo+24] Daniela Lopes, Jin-Dong Dong, Pedro Medeiros, Daniel Castro, Diogo Baradas, Bernardo Portela, João Vinagre, Bernardo Ferreira, Nicolas Christin und Nuno Santos. „Flow Correlation Attacks on Tor Onion Service Sessions with Sliding Subset Sum“. In: *Network and Distributed System Security Symposium*. Internet Society, Feb. 2024. ISBN: 1-891562-93-2. URL: <https://www.ndss-symposium.org/ndss-paper/flow-correlation-attacks-on-tor-onion-service-sessions-with-sliding-subset-sum/> (besucht am 08. 02. 2024).
- [LB21] Ben Lutkevich und Madelyn Bacon. „end-to-end encryption (E2EE)“. In: *Security* (Juni 2021). URL: <https://www.techtarget.com/searchsecurity/definition/end-to-end-encryption-E2EE> (besucht am 16. 01. 2024).
- [Ma23] Giorgio Martinez. „Rust: Exploring Memory Safety and Performance - Giorgio Martinez - Medium“. In: *Medium* (Okt. 2023). ISSN: 9598-0120. URL: <https://medium.com/@giorgio.martinez1926/unlocking-the-pow>

- er-of-rust-exploring-memory-safety-and-performance-9afd5980c120  
(besucht am 11. 02. 2024).
- [Mi23] Microsoft. *WebSockets - UWP applications*. Juli 2023. URL: <https://learn.microsoft.com/de-de/windows/uwp/networking/websockets> (besucht am 13. 02. 2024).
- [Mi17] Simon Miescher. „Bad Exits in the Tor Network“. In: *University of Zurich, Department of Informatics* 25 (Aug. 2017), S. 21–22.
- [Na24] National Institute of Standards and Technology. *zeroization - Glossary | CSRC*. Feb. 2024. URL: <https://csrc.nist.gov/glossary/term/zeroization> (besucht am 15. 02. 2024).
- [Op24] Openssl Foundation, Inc. */docs/man3.1/man3/RSA\_public\_encrypt.html*. Jan. 2024. URL: [https://www.openssl.org/docs/man3.1/man3/RSA\\_public\\_encrypt.html](https://www.openssl.org/docs/man3.1/man3/RSA_public_encrypt.html) (besucht am 04. 02. 2024).
- [Pa+16] Ioana-Cristina Panait, Cristian Pop, Alexandru Sirbu, Adelina Vidovici und Emil Simion. „TOR - Didactic Pluggable Transport“. In: *Innovative Security Solutions for Information Technology and Communications*. Hrsg. von Ion Bica und Reza Reyhanitabar. Cham: Springer International Publishing, 2016, S. 238. ISBN: 978-3-319-47238-6.
- [Re24] Reporter ohne Grenzen, e. V. *USA | Reporter ohne Grenzen für Informationsfreiheit*. Feb. 2024. URL: <https://www.reporter-ohne-grenzen.de/usa> (besucht am 08. 02. 2024).
- [Ro22] Margaret Rouse. *Hybrid Encryption*. Jan. 2022. URL: <https://www.techopedia.com/definition/1779/hybrid-encryption> (besucht am 15. 02. 2024).
- [Ru24] Rust Foundation. *cargo build - The Cargo Book*. Feb. 2024. URL: <https://doc.rust-lang.org/cargo/commands/cargo-build.html> (besucht am 11. 02. 2024).
- [Se19] Session. *Centralisation vs decentralisation in private messaging - Session Private Messenger*. Dez. 2019. URL: <https://getsession.org/blog/centralisation-vs-decentralisation-in-private-messaging> (besucht am 08. 02. 2024).

- [Si16] Signal Messenger. *Reflections: The ecosystem is moving*. Mai 2016. URL: <https://signal.org/blog/the-ecosystem-is-moving> (besucht am 08. 02. 2024).
- [Ta96] D. Taipale. „Implementing the Rivest, Shamir, Adleman cryptographic algorithm on the Motorola 56300 family of digital signal processors“. In: *Southcon/96 Conference Record*. Juni 1996, S. 10–11. DOI: 10.1109/SOUTHC.1996.535035.
- [Ta13] Marius Tarnauceanu. *A generalization of the Euler’s totient function*. 2013. DOI: 10.48550/arXiv.1312.1428. arXiv: 1312.1428 [math.GR]. URL: <https://doi.org/10.48550/arXiv.1312.1428>.
- [Ta23] Tauri Programme. *Events | Tauri Apps*. März 2023. URL: <https://tauri.app/v1/guides/features/events> (besucht am 15. 02. 2024).
- [To24a] Tor Project. *Deriving blinded keys and subcredentials [SUBCRED] - Tor Specifications*. Jan. 2024. URL: <https://spec.torproject.org/rend-spec/deriving-keys.html> (besucht am 04. 02. 2024).
- [To24b] Tor Project. *directory authority | Tor Project | Support*. Feb. 2024. URL: <https://support.torproject.org/glossary/directory-authority> (besucht am 02. 02. 2024).
- [To24c] Tor Project. *How can we help? | Tor Project | Support*. Feb. 2024. URL: <https://support.torproject.org/about/change-paths/> (besucht am 04. 02. 2024).
- [To24d] Tor Project. *Kanal | Tor Project | Hilfe*. Jan. 2024. URL: <https://support.torproject.org/de/glossary/circuit> (besucht am 31. 01. 2024).
- [To24e] Tor Project. *src/core/or · main · The Tor Project / Core / Tor · GitLab*. Feb. 2024. URL: [https://gitlab.torproject.org/tpo/core/tor/-/blob/main/src/feature/hs/hs\\_descriptor.c?ref\\_type=heads#L45-L54](https://gitlab.torproject.org/tpo/core/tor/-/blob/main/src/feature/hs/hs_descriptor.c?ref_type=heads#L45-L54) (besucht am 04. 02. 2024).
- [To23a] Tor Project. *The introduction protocol [INTRO-PROTOCOL] - Tor Specifications*. Dez. 2023. URL: <https://spec.torproject.org/rend-spec/introduction-protocol.html> (besucht am 04. 02. 2024).



- [To23b] Tor Project. *The rendezvous protocol - Tor Specifications*. Nov. 2023. URL: <https://spec.torproject.org/rend-spec/rendezvous-protocol.html> (besucht am 04. 02. 2024).
- [To24f] Tor Project. *Tor Project | How do Onion Services work?* [Online; accessed 2. Feb. 2024]. Jan. 2024. URL: <https://community.torproject.org/onion-services/overview>.
- [To24g] Tor Project. *Tor Project | Talk about onions*. Jan. 2024. URL: <https://community.torproject.org/onion-services/talk> (besucht am 31. 01. 2024).
- [Tu08] Clay S Turner. „Euler’s totient function and public key cryptography“. In: *Nov 7 (2008)*, S. 138.
- [Wa+13] Hongjun Wang, Zhiwen Song, Xiaoyu Niu und Qun Ding. „Key generation research of RSA public cryptosystem and Matlab implement“. In: *PROCEEDINGS OF 2013 International Conference on Sensor Network Security Technology and Privacy Communication System*. 2013, S. 126–127. DOI: 10.1109/SNS-PCS.2013.6553849.
- [Wi+22b] Sandra Wittmer, Florian Platzer, Martin Steinebach und York Yannikos. „Deanonymisierung im Tor-Netzwerk – Technische Möglichkeiten und rechtliche Rahmenbedingungen“. In: *Selbstbestimmung, Privatheit und Datenschutz : Gestaltungsoptionen für einen europäischen Weg*. Hrsg. von Michael Friedewald, Michael Kreutzer und Marit Hansen. Wiesbaden: Springer Fachmedien Wiesbaden, 2022, S. 154–155. ISBN: 978-3-658-33306-5. DOI: 10.1007/978-3-658-33306-5\_8. URL: [https://doi.org/10.1007/978-3-658-33306-5\\_8](https://doi.org/10.1007/978-3-658-33306-5_8).
- [Wu+23] Mingshi Wu, Jackson Sippe, Danesh Sivakumar, Jack Burg, Peter Anderson, Xiaokang Wang, Kevin Bock, Amir Houmansadr, Dave Levin und Eric Wustrow. „How the Great Firewall of China Detects and Blocks Fully Encrypted Traffic“. In: *32nd USENIX Security Symposium (USENIX Security 23)*. Anaheim, CA: USENIX Association, Aug. 2023, S. 2666. ISBN: 978-1-939133-37-3. URL: <https://www.usenix.org/conference/usenixsecurity23/presentation/wu-mingshi> (besucht am 14. 01. 2024).

## Anhang

- [BSW15b] Albrecht Beutelspacher, Jörg Schwenk und Klaus-Dieter Wolfenstetter. „Kryptologische Grundlagen“. In: *Moderne Verfahren der Kryptographie: Von RSA zu Zero-Knowledge*. Wiesbaden: Springer Fachmedien Wiesbaden, 2015, S. 14. ISBN: 978-3-8348-2322-9. DOI: 10.1007/978-3-8348-2322-9\_2. URL: [https://doi.org/10.1007/978-3-8348-2322-9\\_2](https://doi.org/10.1007/978-3-8348-2322-9_2).
- [Kr16b] N. Krzyworzeka. „Asymmetric cryptography and trapdoor one-way functions“. In: *Automatyka / Automatics* 20.2 (2016), S. 41. ISSN: 1429-3447. DOI: 10.7494/automat.2016.20.2.39.
- [Wi+22a] Sandra Wittmer, Florian Platzer, Martin Steinebach und York Yannikos. „Deanonymisierung im Tor-Netzwerk – Technische Möglichkeiten und rechtliche Rahmenbedingungen“. In: *Selbstbestimmung, Privatheit und Datenschutz : Gestaltungsoptionen für einen europäischen Weg*. Hrsg. von Michael Friedewald, Michael Kreutzer und Marit Hansen. Wiesbaden: Springer Fachmedien Wiesbaden, 2022, S. 153. ISBN: 978-3-658-33306-5. DOI: 10.1007/978-3-658-33306-5\_8. URL: [https://doi.org/10.1007/978-3-658-33306-5\\_8](https://doi.org/10.1007/978-3-658-33306-5_8).

Quellcode: <https://github.com/sshcrack/enkrypton>

Die Bestimmungen zur Seminararbeit am Windthorst-Gymnasium Meppen habe ich zur Kenntnis genommen.

Ich versichere, dass ich die vorgelegte Arbeit selbstständig und ohne fremde Hilfe angefertigt und alle benötigten Hilfsmittel und Quellen ordnungsgemäß angegeben und gekennzeichnet habe.

Der Veröffentlichung der nicht korrigierten Fassung der Facharbeit in der Mediathek des Windthorst-Gymnasiums

stimme ich ☐ zustimme ich nicht zu ☐

---

Ort

---

Datum

---

Unterschrift Verfasser/in